

УДК 532.54:534.1

КАТЯЩИЕСЯ ВОЛНЫ В КАНАЛЕ С АКТИВНОЙ ГАЗОВОЙ ФАЗОЙ

А. Будлал, В. Ю. Ляпидевский^{*,**}Лаборатория механики Университета естественных наук и технологий г. Лилля,
UMR CNRS 8107 Лилль, Франция^{*} Институт гидродинамики им. М. А. Лаврентьева СО РАН, 630090 Новосибирск, Россия^{**} Новосибирский государственный университет, 630090 Новосибирск, Россия

E-mails: abdelaziz.boudlal@univ-lille1.fr, liapid@hydro.nsc.ru

Построена математическая модель течения тонкого слоя тяжелой жидкости под упругой оболочкой, заполненной газом. За счет массообмена с окружающей средой газовая фаза является активной и поддерживает самоорганизующееся волновое движение в слое жидкости. Найдены условия, при которых малые возмущения трансформируются в квазипериодические волновые пакеты конечной амплитуды, движущиеся в одном направлении. Показано, что структура этих волн аналогична структуре катящихся волн в открытых каналах.

Ключевые слова: катящиеся волны, гиперболические уравнения, разрывные решения, устойчивость волновых пакетов.

DOI: 10.15372/PMTF20150401

Введение. Процесс формирования периодических волн конечной амплитуды, или катящихся волн, в результате развития неустойчивости течения в наклонных каналах хорошо известен в гидравлике открытых русел [1]. Математическое описание этого явления в приближении мелкой воды приведено в [2]. При этом в рамках нелинейной гиперболической системы уравнений катящиеся волны представляют собой периодические разрывные решения, стационарные в некоторой движущейся системе координат (бегущие волны). Уравнения мелкой воды применимы также для описания катящихся волн в наклонных каналах произвольного сечения [3, 4].

Квазипериодический режим течения как нелинейная стадия развития неустойчивости равномерного потока может быть получен и в более сложных моделях. Влияние вязкости и диссипации энергии потоков учтено в [5, 6]. Структура турбулентного бора и формирование приповерхностного турбулентного слоя при обрушении бегущих волн рассмотрены в [7, 8].

В течениях многокомпонентных жидкостей в горизонтальных и наклонных каналах и трубах развитие неустойчивости и генерация катящихся волн являются одним из механизмов перехода от стратифицированного режима течения к снаряжному [9–12]. При этом как для течений жидкости в открытых каналах, так и для течений многокомпонентных сред

Работа выполнена в рамках Интеграционного проекта СО РАН № 15 и программы Отделения энергетики, машиностроения, механики и процессов управления РАН № 13.4, а также при финансовой поддержке Российского фонда фундаментальных исследований (код проекта 13-01-00249).

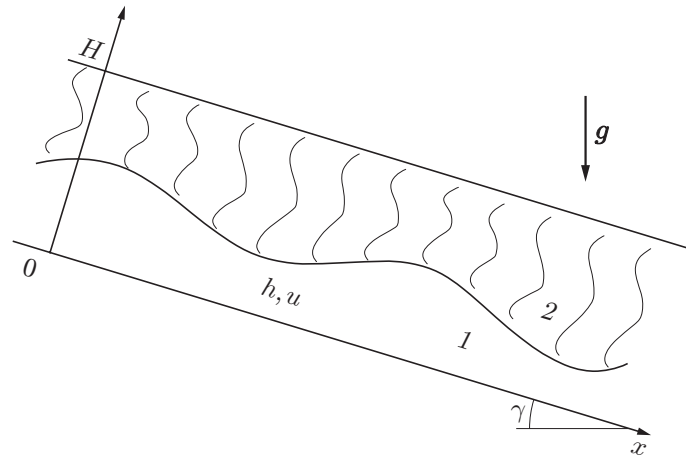


Рис. 1. Схема течения:
1 — слой жидкости, 2 — газ

в закрытых каналах и трубах основным источником колебаний потока является взаимодействие сил, ускоряющих поток (массовые силы, градиент давления), с силами трения. Другим источником возбуждения интенсивного волнового движения в многокомпонентных системах может быть подвод энергии (химической, тепловой, энергии фазового перехода и т. д.) к одному из компонентов потока.

Механическая модель генерации катящихся волн, задаваемая гиперболической системой уравнений газодинамического типа, построена в [13] для газожидкостных течений с переменной массой газового компонента. В данной работе построена аналогичная модель течения тонкого слоя несжимаемой жидкости в наклонном канале под деформируемой оболочкой, заполненной газом. При этом газовая фаза является активной, т. е. масса газа внутри оболочки может меняться в зависимости от ее объема. Таким образом, рассматривается простейшая механическая модель генерации автоколебаний за счет распределенного подвода энергии к некоторому участку канала. Основное внимание уделено определению условий возникновения в канале катящихся волн, распространяющихся в одном направлении. Эти условия связаны с массообменом в газовом компоненте.

Математическая модель. Рассматриваются одномерные нестационарные движения тонкого слоя тяжелой несжимаемой жидкости с плотностью ρ_f в наклонном канале (рис. 1). Сверху жидкость ограничена деформируемой оболочкой, заполненной газом. Газ находится в изолированных отсеках и может закачиваться или откачиваться из отсека по заданному закону. Отсеки закреплены, их объем может меняться в зависимости от положения границы раздела между жидким и газовым компонентами. Угол наклона канала к горизонтальной плоскости равен γ . Система координат выбрана таким образом, чтобы ось абсцисс совпадала с дном канала, а ось ординат была ей ортогональна.

В приближении мелкой воды уравнения движения слоя жидкости, характеризующегося толщиной h и средней скоростью u , направленной вдоль канала, принимают вид

$$h_t + (hu)_x = 0, \quad u_t + uu_x + (g_n h + \rho_f^{-1} p_g)_x = \alpha g_n - c_w u |u| / h. \quad (1)$$

Здесь $g_n = g \cos \gamma$; $\alpha = \tan \gamma$; g — ускорение свободного падения; c_w — коэффициент трения.

Так как граница раздела $h = h(t, x)$ деформируется только в направлении y , то коэффициент трения учитывает торможение потока не только на дне канала, но и на верхней границе движущегося слоя жидкости. Газ в отсеках считается изотермическим, поэтому зависимость давления газа p_g от толщины слоя h может быть выражена следующим образом: $p_g = \chi m_g / (H - h)$, $\chi = RT / \mu = \text{const}$ (H — общая глубина канала; R — газовая

постоянная; T — температура; m_g — масса газа на единицу длины канала; μ — молекулярная масса газа). Будем считать, что скорость подачи газа в отсек зависит от объема газовой фазы, а скорость оттока пропорциональна давлению p_g , т. е.

$$m_t = \theta(\varphi(h) - m/(H - h)), \quad m = \chi m_g. \quad (2)$$

Уравнения движения газожидкостной среды с подвижным газовым компонентом, аналогичные (1), (2), рассмотрены в [13]. Безразмерные переменные могут быть выбраны таким образом, чтобы выполнялись условия $\rho_f = 1$, $H = 1$, $g_n = 1$. Кроме того, при $\theta \neq 0$ путем растяжения независимых переменных можно обеспечить выполнение условия $\theta = 1$. В этом случае в безразмерных переменных уравнения (1), (2) принимают вид

$$\begin{aligned} h_t + (hu)_x &= 0, & u_t + (u^2/2 + h + m/(1 - h))_x &= \alpha - c_w u|u|/h, \\ m_t &= \varphi(h) - m/(1 - h). \end{aligned} \quad (3)$$

Система уравнений (3) является гиперболической на любых решениях, ее характеристики могут быть представлены в виде

$$\frac{dx}{dt} = \lambda_0 = 0, \quad \frac{dx}{dt} = \lambda^\pm = u \pm \sqrt{h + \frac{mh}{(1 - h)^2}}. \quad (4)$$

Заметим, что при $\theta = 0$ из (2) следует $m \equiv \text{const}$ при $t > 0$, если это свойство имело место при $t = 0$. В этом случае система (1) сводится к уравнениям мелкой воды для течений тяжелой сжимаемой жидкости в наклонном канале, рассмотренным в [14. Гл. 3]. Заметим, что характеристики (4) не зависят от правой части уравнений (3), поэтому при $\theta = 0$ набор характеристик тот же, что и при $\theta > 0$.

Катящиеся волны. По аналогии с катящимися волнами в открытых наклонных каналах [2] для системы (3) могут быть построены периодические разрывные решения, стационарные в некоторой системе координат, движущейся с постоянной скоростью D , т. е. решения (3), зависящие от переменной $\xi = x - Dt$.

Рассмотрим сначала частный случай волн в горизонтальном канале ($\alpha = 0$, $c_w = 0$, $\theta = 1$). Из (3) следуют соотношения

$$\begin{aligned} h(D - u) &= y(D - u_c) = q, \\ \frac{1}{2}(D - u)^2 + h + \frac{m}{1 - h} &= \frac{1}{2}(D - u_c)^2 + y + \frac{m_c}{1 - y} = J. \end{aligned} \quad (5)$$

Здесь y — критическая глубина; величины с индексом c соответствуют критическим параметрам потока, определенным ниже. Из (5) следует зависимость

$$m = M(h) = (1 - h) \left(\frac{q^2}{2y^2} - \frac{q^2}{2h^2} + y - h + \frac{m_c}{1 - y} \right), \quad (6)$$

поэтому уравнения для бегущих волн могут быть сведены к обыкновенному дифференциальному уравнению

$$\begin{aligned} -D \frac{dh}{d\xi} &= \frac{f(h)}{\Delta(h)}, & f(h) &= \varphi(h) - \frac{m}{1 - h}, \\ \Delta(h) &= \frac{dM(h)}{dh} = \frac{q^3}{h^3} \left(1 - \frac{h}{2} \right) - J + 2h - 1. \end{aligned} \quad (7)$$

Необходимым условием существования периодических катящихся волн является наличие на участке гладкого течения критической глубины y , при которой $\Delta(y) = 0$, $f(y) = 0$, т. е. из (5) получаем

$$J = \frac{q^2}{2y^2} + y + \varphi(y), \quad q^2 = y^3 + \left(1 + \frac{\varphi(y)}{y} \right). \quad (8)$$

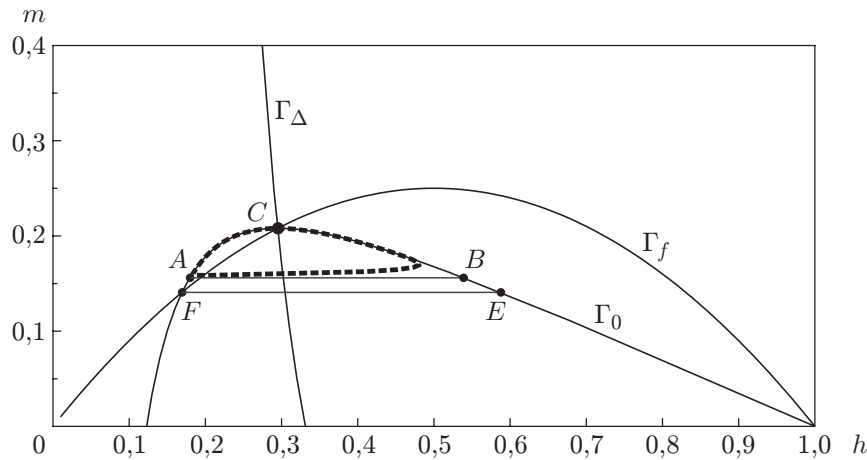


Рис. 2. Диаграмма катящихся волн (3) на плоскости (h, m) при $\varphi(h) = h$: штриховая линия — образ цуга волн (нестационарный расчет), $ABCA$ — решение (7) при $y = 0,3$, $FECF$ — волны с предельной амплитудой

Значения u_c , m_c восстанавливаются из (6), (8) однозначно. Рассмотрим случай волн, бегущих вправо, т. е. случай $D > u$ или $q > 0$. Условия на разрыве для решений (3) приводятся к виду

$$M(h^-) = M(h^+),$$

где $h^\pm = h(\xi \pm 0)$. Устойчивость разрыва для волн, бегущих вправо, обеспечивается выполнением неравенств $\lambda^+(\xi + 0) < D < \lambda^+(\xi - 0)$ [1], т. е. $h^+ < h^-$. Из условий устойчивости и (7) следует, что для построения катящихся волн малой амплитуды необходимо выполнение условия

$$\lim_{h \rightarrow y} \frac{f(h)}{\Delta(h)} = \frac{f'(h)}{\Delta'(h)} < 0.$$

Заметим, что в критической точке выполняется неравенство

$$\Delta'(y) = M''(y) = 3\left(1 - \frac{1}{y}\right) + \frac{\varphi(y)}{1-y}\left(1 - \frac{3}{y}\right) < 0,$$

так как $0 < y < 1$ и $\varphi(y) > 0$. Осталось найти условия, при которых $f'(y) > 0$. В силу (7) имеем

$$f'(h) = \varphi'(h) - \frac{M(h)}{(1-h)^2} - \frac{M'(h)}{1-h}.$$

Так как $M(y) = (1-y)\varphi(y)$, $M'(y) = \Delta(y) = 0$, то $f'(y) > 0$ тогда и только тогда, когда

$$\varphi'(y) > \frac{\varphi(y)}{1-y}. \quad (9)$$

В частности, для линейной функции $\varphi(h) = \beta h$ катящиеся волны существуют при $y < 1/2$.

Структура катящихся волн конечной амплитуды зависит от поведения функций $f(h)$ и $\Delta(h)$ на интервале $0 < h < 1$. На рис. 2 представлены характерные кривые, определяющие свойства катящихся волн при $\varphi(h) = h$. Эти кривые заданы соотношениями

$$\Gamma_0: m = M(h), \quad \Gamma_\Delta: m = (1-h)^2(q^2/h^3 - 1), \quad \Gamma_f: m = (1-h)\varphi(h).$$

Критическая точка $C(y, m_c)$ лежит на пересечении кривых Γ_f и Γ_Δ . Кроме того, любое непрерывное решение (5), проходящее через точку C , лежит в плоскости (h, m) на кривой Γ_0 . Заметим, что левее точки C на кривой Γ_0 находятся значения параметров потока, соответствующие сверхкритическому течению ($\Delta > 0$), а правее — значения, соответствующие докритическому течению ($\Delta < 0$). Другой характерной точкой является точка $F(h_*, m_*)$ пересечения кривых Γ_f и Γ_Δ , соответствующая сверхкритическому течению. На интервале (h_*, y) функции $f(h)$ и $\Delta(h)$ не обращаются в нуль, но $f(h_*) = 0$. Поэтому отрезок FE , параллельный оси абсцисс, определяет разрыв предельной амплитуды в катящейся волне. При этом длина волны $FCEF$ стремится к бесконечности. Любой отрезок AB , параллельный оси абсцисс и лежащий внутри области $FCEF$, определяет катящуюся волну конечной длины $ABCA$, содержащую критическую точку C . Существование непрерывного решения (7) на докритическом участке течения ($y < h < 1$) обусловлено тем, что функции $f(h)$ и $\Delta(h)$ на этом участке не обращаются в нуль. В общем случае для произвольной зависимости $\varphi(h)$ структура катящихся волн может быть более сложной, но необходимым и достаточным условием существования разрывных периодических решений (7), соединяющих разрывом сопряженные глубины h^\pm ($m(h^+) = m(h^-)$) и проходящих через точку с критическим значением координаты y , является выполнение неравенств [4]

$$f(h) < 0 \quad \text{при} \quad h^+ < h < y, \quad f(h) > 0 \quad \text{при} \quad y < h < h^-. \quad (10)$$

Нетрудно показать, что из (10) следует необходимое условие существования катящихся волн (9). Заметим, что условие (9) может быть получено с использованием критерия Уизема [1], в котором переход от равномерного потока к потоку, где генерируются нелинейные волны, осуществляется в случае, когда скорости характеристик соответствующей равновесной модели превышают скорость распространения возмущений, соответствующих исходной модели. В рассматриваемом случае модель становится равновесной, если в уравнениях движения (3) в горизонтальном канале ($\alpha = 0, c_w = 0$) последнее уравнение заменяется тождеством $m \equiv (1 - h)\varphi(h)$:

$$h_t + (hu)_x = 0, \quad u_t + (u^2/2 + \varphi(h))_x = 0. \quad (11)$$

Характеристики уравнений (11) имеют вид $\lambda_e^\pm = u \pm \sqrt{u^2 + h\varphi(h)}$. Согласно критерию Уизема для волн, распространяющихся вправо ($D > u$), равномерное течение с $h = y$ неустойчиво при $\lambda_e^+ > \lambda^+$, т. е. тогда и только тогда, когда выполнено условие (9).

Волны в наклонном канале в отсутствие массообмена. Рассмотрим случай $c_w > 0, \alpha > 0, \theta = 0$. Из (2) следует, что $m = m_0 = \text{const}$ при $t > 0$. В отсутствие массообмена в газовой фазе уравнения (1) сводятся к уравнениям течения сжимаемой жидкости в наклонном канале [14]. При $\rho_f = 1, g_n = 1, H = 1$ система (1) принимает вид

$$h_t + (hu)_x = 0, \quad u_t + (u^2/2 + P(h))_x = \alpha - c_w u|u|/h, \quad (12)$$

$$P(h) = h + m_0/(1 - h).$$

Модель (12) становится равновесной в результате подстановки $\alpha h \equiv c_w u^2$ ($u > 0$):

$$h_t + \left(\sqrt{\alpha h^3 / c_w} \right)_x = 0.$$

Характеристики этого уравнения имеют вид $\lambda_e = (3/2)\sqrt{\alpha h / c_w}$, поэтому условие возникновения катящихся волн $\lambda_e > \lambda^+$ сводится к неравенству

$$\frac{\alpha}{c_w} > 4 \left(1 + \frac{m_0}{(1 - h)^2} \right)^{1/2}. \quad (13)$$

Таким образом, равномерное течение $u = u_0 = \sqrt{\alpha h_0 / c_w}$, $h = h_0$ неустойчиво при

$$\text{Fr} = \frac{u_0}{\sqrt{h_0}} > 2 \left(1 + \frac{m_0}{1 - h_0} \right)^{1/2},$$

что согласуется с известным критерием неустойчивости $\text{Fr} > 2$ для течений в открытых наклонных каналах [1] при $m_0 \ll 1$.

Катящиеся волны в канале при наличии трения и массообмена. Рассмотрим общий случай системы (3) при $c_w > 0$. Равномерное течение $h \equiv h_0 > 0$, $u \equiv u_0 > 0$, $m \equiv m_0 > 0$ является точным решением (3) при

$$\alpha h_0 = c_w u_0^2, \quad m_0 = (1 - h_0) \varphi(h_0). \quad (14)$$

Ниже исследуется процесс генерации катящихся волн в каналах с умеренным углом наклона, т. е. в случае, когда неравенство (13) не выполнено и равномерный поток без массообмена в газовой фазе является устойчивым. Это ограничение позволяет оценить влияние активной газовой фазы на структуру катящихся волн. В то же время ограничиться построением катящихся волн в горизонтальном канале ($\alpha = 0$, $u_0 = 0$), рассмотренном выше, недостаточно, так как в случае нестационарных процессов генерации волн в течениях при наличии массообмена в газовой фазе пакет катящихся волн при $\alpha = 0$ является неустойчивым. Наличие малых возмущений приводит к генерации катящихся волн, движущихся в противоположном направлении, и возбуждению в канале стоячих волн конечной амплитуды. В то же время даже при небольшом угле наклона канала наличие среднего течения ($u_0 > 0$) подавляет развитие возмущений вверх по потоку и приводит к формированию устойчивых катящихся волн, распространяющихся вниз по потоку ($D > u$). При ($D > u > 0$) бегущие волны (3) задаются системой уравнений

$$\begin{aligned} h(D - u) = y(D - u_c) = q, \\ \left(\frac{1}{2} (D - u)^2 + h + \frac{m}{1 - h} \right)' = \alpha - \frac{c_w u^2}{H}, \quad -Dm' = \varphi(h) - \frac{m}{1 - h}, \end{aligned}$$

которая может быть сведена к одному уравнению на плоскости (h, m)

$$\frac{dm}{dh} = \frac{\Phi \Delta_1}{F}. \quad (15)$$

Здесь

$$\begin{aligned} \Phi = \Phi(h, m) = D^{-1} \left(\frac{m}{1 - h} - \varphi(h) \right), \quad \Delta_1 = \Delta_1(h, m) = -\frac{q^2}{h^3} + 1 + \frac{m}{(1 - h)^2}, \\ F = F(h, m) = \alpha - \frac{c_w u^2}{h} - \frac{m}{D(1 - h)^2} + \frac{\varphi(h)}{D(1 - h)}, \quad u = u(h) = D - \frac{q}{h}. \end{aligned}$$

Далее полагаем

$$G = G(h, m) = \frac{q^2}{2h^2} + h + \frac{m}{1 - h}.$$

Следует отметить, что $\Delta(h) = \Delta_1(h, M(h))$ при $\alpha = 0$, $c_w = 0$. Кроме того, на кривой Γ_f функции Φ , F обращаются в нуль и их отношение имеет конечный предел. Следовательно, при небольших углах наклона канала периодическое решение (15) при $c_w > 0$ должно иметь структуру, аналогичную структуре решения, построенного для горизонтального канала, т. е. проходить через особую точку с координатами, удовлетворяющими условиям $\Delta_1(h, m) = 0$, $F(h, m) = 0$ и содержать устойчивый разрыв, соединяющий докритическую и сверхкритическую ветви решения. Даже при умеренных углах наклона канала,

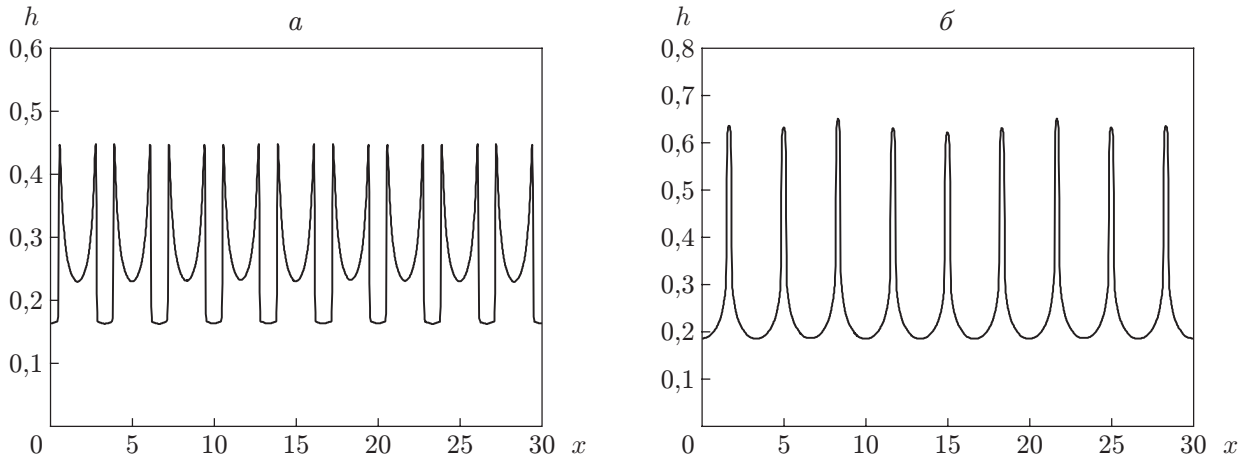


Рис. 3. Эволюция начальных гармонических возмущений в горизонтальном канале ($\alpha = 0, c_w = 0,005$):
 а — $t = 90$, б — $t = 200$

соответствующих числу Фруда $Fr \sim 1$, численные расчеты нестационарных течений показывают, что решения выходят на периодический режим, соответствующий построенному выше периодическому разрывному решению при $\alpha = 0, c_w = 0$. Ниже проводится анализ структуры катящихся волн в наклонном канале, возникающих при внесении возмущений в стационарное течение.

Эволюция катящихся волн. Развитие малых возмущений стационарного течения, удовлетворяющего условиям (14), можно смоделировать при численном решении соответствующей начально-краевой задачи для системы (3). При этом в стационарное течение можно вносить возмущения с помощью как начальных, так и граничных условий. Гиперболичность системы уравнений (3) позволяет применять для нестационарных расчетов стандартные численные схемы. В настоящей работе использована схема Годунова.

Основной особенностью развития неустойчивости в газожидкостной системе, удовлетворяющей (9), в отличие от генерации катящихся волн в открытых каналах, является возможность усиления малых возмущений в покоящейся среде. При этом направления распространения возмущений равноправны и в ограниченной области, занятой первоначально покоящейся жидкостью, развиваются незатухающие стоячие волны конечной амплитуды. В наклонных каналах при $u > 0$ развитие возмущений в направлении, противоположном направлению потока, подавляется и при определенных условиях развивается квазипериодическое течение, представляющее собой пакет катящихся волн конечной амплитуды.

Рассмотрим задачу Коши для уравнений (3) в горизонтальном канале ($\varphi(h) = h, \alpha = 0, c_w = 0$). При $t = 0$ заданы следующие начальные данные:

$$h = h_0(1 + 0,01 \cos(\omega t)), \quad u = 0, \quad m = h_0(1 - h_0), \tag{16}$$

$$h_0 = 0,25, \quad L = 30, \quad \omega = 18\pi/L.$$

При $t > 0$ определяется периодическое (с периодом L) решение (3), (16). На рис. 3 показана форма свободной поверхности слоя жидкости в различные моменты времени. На рис. 3,а видно, что в слое генерируются структуры, характерные для катящихся волн, но движущиеся в противоположных направлениях. Эти структуры взаимодействуют (см. рис. 3,б), образуя периодически повторяющиеся волновые конфигурации. Учет трения ($c_w = 0,005$) на рассмотренных интервалах времени не приводит к изменению фазовых и амплитудных характеристик течения. В наклонном канале основное течение описывается соотноше-

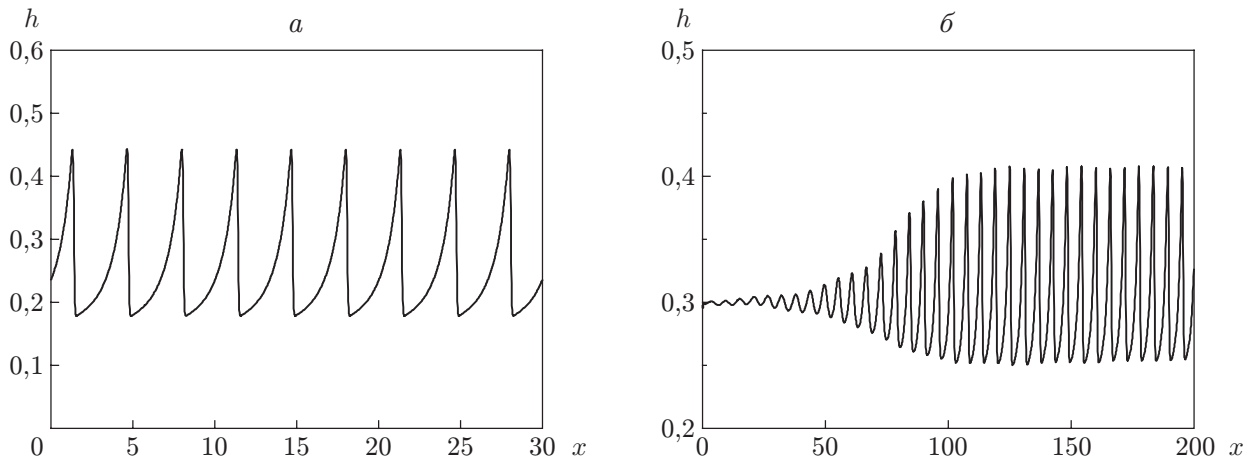


Рис. 4. Катящиеся волны в наклонном канале ($t = 200$, $\alpha = 0,005$, $c_w = 0,005$):
 а — течение при периодических начальных условиях, б — развитие возмущения равномерного потока на входе в канал

НИЯМИ

$$h = h_0, \quad u = u_0 = \sqrt{\alpha h_0 / c_w}, \quad m = h_0(1 - h_0). \quad (17)$$

При $\alpha = 0,005$, $c_w = 0,005$ из (17) следует, что $Fr = u_0 / \sqrt{h_0} = 1$. Возмущение (16) основного потока при $u = u_0 > 0$ также приводит к возникновению волнового движения, но в этом случае волновой пакет состоит из бегущих волн конечной амплитуды, распространяющихся вправо (рис. 4, а). Начиная с некоторого момента времени амплитуда волн прекращает увеличиваться и реализуется волновой периодический пакет катящихся волн, движущихся с постоянной скоростью. Приведенной на рис. 4, а волновой конфигурации, состоящей из девяти волн, соответствует замкнутая штриховая линия на рис. 2. Следовательно, все образы волн рассматриваемого пакета лежат на одной замкнутой кривой, что свидетельствует о периодичности процесса. Более того, в области непрерывного изменения параметров в волне, соответствующей участкам как докритического, так и сверхкритического течения, построенная кривая лежит на кривой ACB (см. рис. 2), характеризующей катящиеся волны в горизонтальном канале при отсутствии трения. Таким образом, наличие умеренного угла наклона канала не приводит к изменению структуры катящихся волн, но обеспечивает их устойчивость по отношению к нестационарным возмущениям потока. Развитие возмущений в наклонном канале показано на рис. 4, б. Длина канала $L = 200$, начальная глубина $h_0 = 0,3$. Рассматриваются негармонические возмущения основного течения (17), генерируемые на левой границе с большей частотой, чем в (16), и амплитудой менее 1 %. Вниз по потоку амплитуда этих возмущений резко увеличивается до некоторой критической величины, при которой рост волн внезапно прекращается и формируется пакет катящихся волн со структурой, соответствующей волнам, показанным на рис. 4, а. Аналогичная картина наблюдается при расчете волнового движения в открытых каналах [14]. Таким образом, независимо от способа генерации волновых возмущений формируется квазипериодический “насыщенный” волновой режим течения.

Закключение. В рассматриваемой математической модели (1), (2) газовая фаза является активной, поскольку за счет притока и оттока газа в зависимости от давления и объема газовой полости в слое жидкости может возникать и поддерживаться самоорганизующееся волновое движение. При условии (9), налагаемом на скорость подачи газа, наличие малых возмущений равномерного потока жидкости приводит к развитию интенсивного волнового движения, имеющего квазипериодический характер. При этом в зави-

симости от угла наклона канала колебания в слое жидкости могут иметь характер как стоячих, так и бегущих волн конечной амплитуды. Уравнения (1), (2) являются уравнениями гиперболического типа и представляют собой простейшую “механическую” модель генерации волнового движения за счет распределенного по длине канала подвода энергии к газовой фазе в горизонтальных и близких к горизонтальным каналах.

ЛИТЕРАТУРА

1. **Уизем Дж.** Линейные и нелинейные волны. М.: Мир, 1977.
2. **Dressler R. F.** Mathematical solution of the problem of roll-waves in inclined open channels // *Comm. Pure Appl. Math.* 1949. V. 2. P. 149–194.
3. **Dyment A., Boudlal A.** A theoretical model for gas-liquid slug flow in down inclined ducts // *Intern. J. Multiphase Flow.* 2004. V. 30. P. 521–550.
4. **Boudlal A., Liapidevskii V. Yu.** Stability of regular roll waves // *Вычисл. технологии.* 2005. Т. 10, № 2. С. 3–14.
5. **Needham D. J., Merkin J. H.** On roll waves down an open inclined channel // *Proc. Roy. Soc. London. Ser. A.* 1981. V. 394. P. 259–278.
6. **Kranenburg C.** On the evolution of roll waves // *J. Fluid Mech.* 1992. V. 245. P. 249–261.
7. **Richard G. L., Gavriilyuk S. L.** A new model of roll waves: comparison with Brock’s experiments // *J. Fluid Mech.* 2012. V. 698. P. 374–405.
8. **Ляпидевский В. Ю., Чесноков А. А.** Слой смещения под свободной поверхностью // *ПМТФ.* 2014. Т. 55, № 2. С. 127–140.
9. **Barnea D., Taitel Y.** Interfacial and structural stability of separated flow // *Intern. J. Multiphase Flow.* 1994. V. 25. P. 387–414.
10. **Kordyban E.** Horizontal slug flow: a comparison of existing theories // *Trans. ASME. J. Fluids Engng.* 1990. V. 112. P. 74–83.
11. **Ляпидевский В. Ю.** Структура катящихся волн в двухслойных течениях // *Прикл. математика и механика.* 2000. Т. 64, № 6. С. 976–982.
12. **Boudlal A.** Roll waves and plugs in two-layer flows // *Europ. J. Appl. Math.* 2007. V. 19. P. 1–19.
13. **Ляпидевский В. Ю.** Катящиеся волны в газожидкостной среде // *ПМТФ.* 2002. Т. 43, № 2. С. 39–42.
14. **Ляпидевский В. Ю.** Математические модели распространения длинных волн в неоднородной жидкости / В. Ю. Ляпидевский, В. М. Тешуков. Новосибирск: Изд-во СО РАН, 2000.

Поступила в редакцию 2/VI 2014 г.